

埼玉大学 工学部 正会員 ○ 渡辺邦夫  
 " " " " 佐藤邦明

### はじめに

コアサンプルあるいは一般に岩盤の透水性を評価するにあたっては、主な浸透経路となる micro-crack や crack 系の性質を定量的にとらえ、透水係数との関係を評価する必要がある。筆者らは以前、micro-crack 系の性質を間隙率と全体的に把握することを考え、花崗岩コア・サンプルの透水係数がみかけ上、間隙率のほぼ 4~5 倍に比例することを実験的に明らかにした。今回この研究成果をふまえ、より詳しく micro-crack 系をモデル化し、透水係数と間隙率との関係を理論的に考察した。この結果、実験値と理論値のよい一致をみたので報告する。

### 1 micro-crack 系のモデル化と透水係数算定式

モデル化について、今回なるべく実際の micro-crack 系に近づけることを目的とし、図-1 のように考えた。まず全体的なモデルの形態は図-1(a) のようで、各々の micro-crack の曲がり、方向性などを考慮している。また micro-crack 壁面には、図-1(b), (c) のように複雑な凹凸(粗度)を有するところもあり、実際とかなり近いモデルである。(しかし、ここにしつぎの仮定を導入する。  
 ① 各々の micro-crack の間隙幅はモード一定である  
 ② micro-crack は巻きしているサンプル大きさ程度ではすべて連続している  
 ③ 一つ一つの透水経路が図-1(b) のように独立を取り出しうる  
 ④ micro-crack 壁面の粗度が透水係数に与える影響は、図-1(c) に示すように間隙幅モード見掛け上小さくなりせばなると考へることにより表現しうる  
 ⑤ その関係は、 $\tau' = C \cdot \tau_0$  ( $C$  は定数) であるとする。このような仮定を導入することにより、図-1(a) の寸方向の透水係数( $\tau'$ )は、図-1(b) のような一つ一つの透水経路中の流れを、幅モードの平行平滑板間の層流状態の流れでおきかえて、つきの(1)式で表現できる。

$$\tau' = g/2\mu \cdot (t')^3 \cdot L_s \cdot (\tau_0)^2, \quad (t' = C \tau_0) \quad \dots \dots \dots (1)$$

ここで、 $g$ : 重力加速度、 $\mu$ : 動粘性係数である。また  $L_s$  は、図-1(a) に示すような、寸に直交断面内の単位面積あたりの micro-crack 平均長さ、 $L$  は寸方向の岩盤長さ、 $\tau_0$  は図-1(b) のように考へた時の、平均透水経路長さである。

この(1)式の問題点の一つは、モデルの妥当性はさておき、式中にモード、寸、 $L_s$ 、 $(\tau_0)^2$  など多くの micro-crack の性質をあらわすパラメータが含まれており、実際に使い難い形となっていることである。この点を考慮し、また以前報告した実験式が、透水係数と間隙率の関係を整理されていくことに注目し、これらのパラメーターが間隙率とのような関係を持ち、これを実際のコア・サンプルトより調べ、間隙率により統一的に表現することを考える。

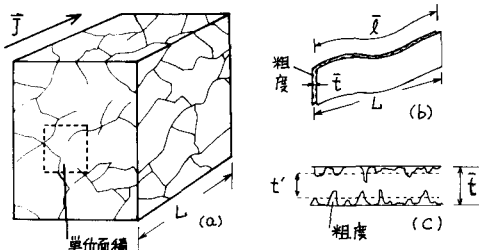


図-1 micro-crack 系のモデル化

### 2 各パラメーターの間隙率による評価および透水係数の理論値と実験値との比較

検討に用いたコア・サンプルは、群馬県草木ダム、愛知県矢作ダム、瀬戸内周辺など 6 地点で採取した間隙率の異なる花崗岩である。まず平均間隙幅モードについて考へる。すなわち筆者らは、400 倍倍光顯微鏡により間隙幅分布を調べ、 $N(t)\Delta t$  を間隙幅が  $t$  と  $t+\Delta t$  の間の micro-crack 数、 $K, M$  を定数として、 $N(t)\Delta t = K t^{-M} \Delta t \dots \dots (2)$  で表現こうとした<sup>2)</sup>。図-2 にこの代表的な、間隙率の異なる二例を示すが、横軸は間隙幅モード、縦軸は  $N(t)\Delta t$  の全體の micro-crack 数( $N$ )に対する比である。このように表せば、(2)式中の定数  $K, M$  は一方を定めれば決定できる。ここで  $M$  について、間隙率( $\alpha$ )との関係を調べたのが図-3 であり、ほぼ  $M = 2.18 \alpha^{0.2}$  と読み取れる。平均間隙

幅モは、このように分布が与えられれば、 $T_A$ をサンプル中の最小間隙幅、 $T_B$ を最大間隙幅とすれば、 $\int_{T_A}^{T_B} k t^m dt$ により求めうる。今回 $T_A$ については、400倍偏光顕微鏡で観察しうる最小幅 $0.16 \mu\text{m}$ とし、 $T_B$ は、一般にコアサンプル中にみられるmicro-crack間隙幅の大きさを考慮して $100 \mu\text{m}$ と設定した。

つぎに単位面積中のmicro-crack長さ $L_s$ を考える。この測定は、金属組織学の研究<sup>3)</sup>によれば、図-4のように平面にいたる方向走査線を考え、走査線とmicro-crackとの交点数から平均的ともとめうる。図-5に $L_s$ と間隙率(%)との関係を示す。ややバラツキしているが、ほぼ $L_s = 8.3\lambda + 112 (\mu\text{m}^{-2})$ と読みとれる。

さらに、(7)式であるが、これは三次元的なmicro-crack系を考える必要があり測定が難しい。今回は近似的に二次元的に考えることとし、図-6のようにmicro-crack系を間隔 $\Delta L$ で区切り、その間を結ぶ実際のmicro-crack長さ $\Delta L_s$ を測定し、平均的な $L_s$ を算とした。しかし、多くの試料では $(L_s)^2 = \frac{1}{2}$ 程度となることもあつて、今回間隙率に關係なく $(L_s)^2 = \frac{1}{2}$ とおいた。

つぎに(7)式では、実験的に求めた透水係数(C)と、上記の方法で決定した $\lambda$ 、 $L_s$ 、 $(L_s)^2$ を(1)式に代入して逆算した。その結果をもとに整理したものが図-7である。図中●は新鮮な花崗岩を $700^\circ\text{C}$ まで順次強熱冷却し、強制的に間隙率を変えたものでいわば強制風化試料である。○

は自然風化状態の試料である。図より両者の分布がかなり異ることがわかるが、これは自然風化の場合、crack壁面が長期間に変質し、粘土鉱物の生成や溶脱現象により複雑な凹凸ができるのと比べ、強制風化ではそのような変化がないといった壁面の性質の違いを反映したものであろう。(1)の試料でもモガ大きくなることだけつまり、粗度の影響が小さくなるといふ傾向を持つ。これは、間隙幅が大きくなると壁面の微小な凹凸が相対的にヒトサクになりほど無視しきるようになるためと思われる。図から、モガ小さい範囲では、強制風化の場合 $C = 0.45\lambda + 0.2$ …(3)、自然風化で $C = 0.25\lambda + 0.1$ …(4)で近似合うと考えられる。

以上の関係を(1)式に代入すれば間隙率と透水係数の関係をもとめることができる。求めた値を実験値と比較したものが図-8である。図中●は強制風化、○は自然風化の花崗岩、○はマサセ、△は古第三紀、○は石炭紀砂岩の測定値である。実線は(2)式より求めた値であるが、(a)は $C = 0$ とし、(b)は(3)式 (c)は(4)式で $C$ を決定したものである。この図より(4)式が全体にみて実験値とよい一致を示し、また間隙率が30%以上のマサセや、古第三紀や石炭紀砂岩といふ花崗岩とは性質の異なる硬岩にも使用することができる。

今回の研究により、図-1のモデル化や(2)式の理論式の妥当性が示されたと考えるが、今後花崗岩以外の岩についても詳しく検討し、またモガ、 $L_s$ 、 $C$ などのパラメーターの性質をより明らかにする必要がある。

参考文献) 1) 濱田夫佐藤邦明、岩盤の透水性評価に関する実験的研究、第23回日本理謹学会論文集、pp. 15~20, 1979

2) 渡辺耕次、花崗岩中に発達するmicro-crack系の性状とその定量評価の23の式、応用地質、Vol. 20, no. 2, 1979

3) Dehoff R.T., Rheimes F.N., Quantitative Microscopy, McGraw-Hill, 1968

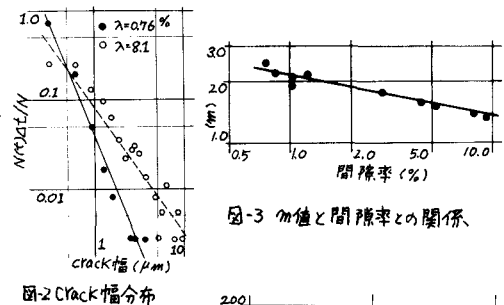


図-2 crack幅分布

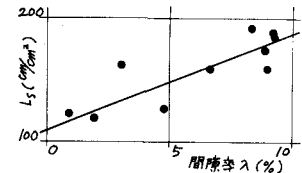


図-3 m値と間隙率との関係



図-4  $L_s$ の測定

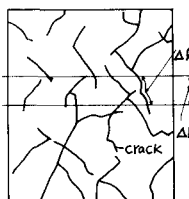


図-5  $L_s$ と間隙率との関係

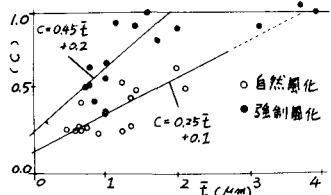


図-7  $C$ と平均間隙幅モの関係

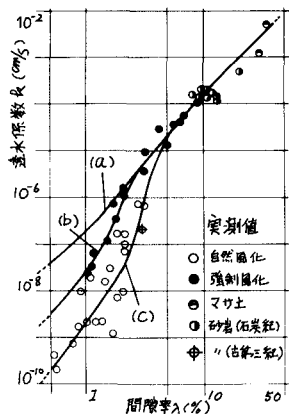


図-8 透水係数と間隙率の関係